РОССИЙСКАЯ АКАДЕМИЯ НАУК

СИБИРСКОЕ ОТДЕЛЕНИЕ

ФИЗИКО-ТЕХНИЧЕСКИЕ ПРОБЛЕМЫ РАЗРАБОТКИ ПОЛЕЗНЫХ ИСКОПАЕМЫХ

2023 № 6

УДК 622.235 + 622.772

ВЫЩЕЛАЧИВАНИЕ МЕДИ С ПРИМЕНЕНИЕМ КОМБИНИРОВАННОЙ ВЗРЫВНОЙ И РЕАГЕНТНОЙ ПОДГОТОВКИ РУДНОГО МАССИВА

А. В. Рассказова, А. Г. Секисов, А. А. Галимьянов

Институт горного дела ДВО РАН, E-mail: annbot87@mail.ru, sekisovag@mail.ru, azot-1977@mail.ru, ул. Тургенева, 51, 680000, г. Хабаровск, Россия

Исследовано комбинированное взрывное и реагентное воздействие на сцементированную минеральную массу, моделирующую рудный массив, осуществляемое путем размещения зарядов взрывчатого вещества внутри растворов реагентов. Предварительная взрывоинъекционная обработка модельного материала различными активными реагентными комплексами приводит к предокислению содержащейся в нем меди, что повышает эффективность процессов ее последующего выщелачивания. Максимально достигнутый прирост выхода меди в продуктивный раствор относительно контрольного значения составил 83 %. Для предокисления меди, входящей в состав модельного материала, в процессах комбинированного взрывного и реагентного воздействия применялись: электроактивированный раствор гидрокарбоната натрия и перекиси водорода, смесь гидроксида натрия и перекиси водорода, гипохлорит натрия, а также дистиллированная вода. В качестве комплексообразователя для выщелачивания меди использовался реагент "Золотая цикада" (Jin Chan) — стандартный и активированный. Установлено, что активация раствора бикарбоната натрия с применением его электрохимической обработки, перед вводом в него комплексообразователя, позволяет более эффективно извлекать медь из подготовленного взрывоинъекционной обработкой модельного материала.

Медь, модель рудного массива, комбинированное взрывное и реагентное воздействие, активация рабочего раствора, выщелачивание

DOI: 10.15372/FTPRPI20230615

При подземной разработке крупных рудных месторождений в недрах Земли остаются неизвлеченными значительные запасы некондиционных и бедных руд, оставленные в целиках, и недовыпущенных руд в отработанных блоках [1]. Использование традиционных геотехнологий в этих случаях, как правило, нерентабельно или технически невозможно. На подобных объектах весьма актуально оценить перспективы доизвлечения золота с помощью способа шахтного (блочного) выщелачивания (ШПВ) [2].

Работа выполнена при поддержке научного гранта "Извлечение упорных форм золота из техногенного минерального сырья с применением физико-химических геотехнологий", предоставленного Правительством Хабаровского края по соглашению № 49 С/2023 от 18.12.2023 и в рамках соглашения № 075-15-2021-663, финансируемого РФ в лице Минобрнауки.

В зависимости от содержания меди в перерабатываемой руде, медные руды условно подразделяются на богатые (содержание меди более 2%), средние (0.8-2.0%), бедные (0.5-0.8%) и забалансовые (менее 0.3%) [3]. Качество добываемых руд снижается, и большинство добывающих компаний имеют дело с бедными рудами [4]. Неуклонно растет доля меди, добываемая методами геотехнологии, в том числе с применением кучного выщелачивания. При кучном выщелачивании проницаемость штабеля для рабочих растворов — один из ключевых факторов; трещиноватая структура куска руды обеспечивает подвод растворителя к минералам меди и ее эффективное извлечение в продуктивный раствор.

При подземном выщелачивании меди, в отличие от кучного выщелачивания, основной проблемой является обеспечение как требуемой трещиноватости, так и крупности дробления руды при взрыве. Разрушение массива горных пород и взрывное дробление фрагментов сопровождаются изменением их физических свойств после взрывных работ из-за распространения ранее существовавших трещин и образования новых трещин различного порядка: макротрещиноватость генерируется в масштабе сантиметров и более; микротрещиноватость развивается в масштабе от первых микрон до миллиметров [5-7]. Кинетика выщелачивания определяется рядом факторов (рН растворов, температура, минералогический состав руды и ее сортность, аппаратурное оформление орошения, природная пористость руды, гранулометрический состав материала штабеля, глинистость, высота кучи и степень ее аэрации) [5].

Важными задачами для использования перколяционного выщелачивания являются обеспечение формирования сети микротрещин и микродефектов во взорванной руде и частичная трансформация вещественного состава (при окислении или гидратации) рудных минералов.

Перспективный метод решения этой проблемы — впрыск реагентов в раскрывающиеся при взрыве руды трещины. С этой целью внутри зарядов взрывчатого вещества (ВВ) размещают растворы реагентов-окислителей, которые, подвергаясь термобарическому воздействию взрывных газов, переходят в парообразное состояние и при проникновении в раскрывающиеся микротрещины частично окисляют поверхностные слои рудных минералов. Наиболее целесообразно использовать кислотные и щелочные растворы, полученные на основе соответствующих продуктов электролиза первичных водных растворов. Вода после электрохимической или фотоэлектрохимической обработки находится в активном метастабильном состоянии. Также вода насыщена растворенными газами (О2, Н2, СО2, Сl2 и др.), частично переходящими при термобарическом воздействии в ионизированное состояние или трансформирующимися в радикалы и ион-радикалы. В результате химических реакций, протекающих в условиях высокого давления и температуры, формируются активные окислители для минералообразующих элементов (железа, меди, серы и др.) [1, 8].

Наиболее технологично повысить выход радикалов и ионов кислорода можно в момент взрывного разрушения кислородсодержащих твердых взрывчатых веществ и инъектировать их в образующиеся пары воды для синтеза наиболее активных окислителей — гидроксилрадикалов, атомарного кислорода и перекисных соединений. Выделяющийся газообразный кислород будет создавать не только давление в объеме скважины, передающееся массиву руды, но и служить источником образования высокоактивных окислителей для металлов и серы.

В настоящем исследовании для взрывного разрушения применялся термитный состав на основе перхлората калия (66 % KClO₄), порошка алюминиевой пудры и технологической добавки в виде дисульфида вольфрама [9-11]. С учетом химического состава вещества, используемого для взрывного разрушения модельного материала, предложен следующий механизм реагентной подготовки модели массива горных пород в результате термобарического взрыва:

• прохождение упругих волн через целиковую минеральную массу при скачке давления образующихся при взрыве газов ($KClO_4 = KCl + 2O_2^*$) с формированием в ней микротрещин и трещин;

• ионизация кислорода и образование активных радикалов в газовой фазе:

$$O_2 \rightarrow O_2^+ + e^-; O_2 + e^- \rightarrow O_2^+ + 2e^-; O_2 + 2e^- \rightarrow O^- + O_3^*; O^- + O_2 \rightarrow O_3 + e^-,$$

 $O_2^* + H_2O_2^* \rightarrow H_2O_2 \rightarrow 2OH_2^*; O_3 + H_2O_2^* \rightarrow H_2O_2 + O_2;$

• взаимодействие образовавшихся высокоактивных радикалов с медью.

На эффективность разрушения горных пород под действием взрыва и формирование сети макро- и микротрещин оказывают влияние природные и техногенные факторы. Крупные трещины в результате взрыва формируются в результате слияния более мелких [12-14]. На дробимость породного массива выемочного блока основное влияние оказывает макротрещиноватость, обусловливающая делимость горных пород на природные отдельности. Размеры природных отдельностей выемочного блока определяются параметрами систем макротрещин. Структурно-текстурные характеристики горных пород можно исследовать методами компьютерной рентгеновской микротомографии [15-17].

Интерес к гидрометаллургическому способу извлечения меди, в частности с применением физико-химических технологий подземного и кучного выщелачивания, возрастает с течением времени [18, 19].

Цель настоящего исследования — сравнение эффективности растворения меди при ее выщелачивании после взрывного воздействия, комбинированного с реагентным и при стандартной взрывной подготовке. В экспериментах использовалась модель рудного массива, представляющая собой монолитный образец цементно-песчаной смеси с равномерно распределенным порошком меди.

Извлечение меди из модельного материала нецелесообразно проводить раствором серной кислоты, так как она вступает в химическую реакцию с компонентами цементно-песчаной смеси (по результатам рентгенофлуоресцентного анализа цементно-песчаная смесь содержит 34.52% кальция и 1.28% железа). Цемент в среднем на 35–40% состоит из известняка (CaCO₃), около 15% оксида железа [20], поэтому необходим селективный комплексообразователь для меди, адаптированный к щелочной среде.

Для растворения меди применялся комплексный реагент "Золотая цикада" (Jin Chan), содержащий эффективный комплексообразователь для золота и его аналогов из первой группы периодической системы элементов- серебра и меди. Новым высокотехнологичным продуктом, созданным китайской компанией Guangxi Senhe High Technology Co. Lmt, является запатентованный реагент Jinchan Environmental-friendly Gold Dressing Agent (JGD) [21]. Согласно патентному свидетельству, в состав реагента входят гидроксиды щелочных металлов, карбонаты или гидрокарбонаты щелочных металлов, карбамид, гексацианоферрат калия, бутиловый ксантогенат и хлорид сложного состава (Na₃CNOHCl). На некоторых зарубежных крупных промышленных предприятиях по добыче золота, в том числе China National Gold Mine Group, Shandong Gold Group, Zhaoyuan Gold Group, Zijin Mine Group, реагент успешно опробован и внедрен в производственный процесс [14]. В России данный реагент используется компаний "Золото Дельмачик" при отработке Дельмачикского золоторудного месторождения [22–26].

Протекающие в системе выщелачивания реакции аналогичны цианированию в щелочной среде. Соединения, входящие в состав "Золотой цикады", способствуют более глубокому протеканию диссоциации комплексного иона $[Fe(CN)_6]^{4-}$. Комплексный анион диссоциирует как слабый электролит, но эта диссоциация отличается тем, что координационное число комплексообразователя сохраняется постоянным за счет замены лиганда молекулой воды. Медь активно взаимодействует с цианогруппой и образует цианистые комплексы, переходя в раствори-

мую форму [27]. Медь при взаимодействии с цианидами может образовывать комплексы различного состава: $[Cu(CN)_2]^-$, $[Cu(CN)_3]^{2-}$, $[Cu(CN)_4]^{3-}$ [27]. Для подтверждения растворимости меди в "Золотой цикаде" выполнено тестирование. Концентрация реагента Jin Chan — 1 масс. %, соотношение T/Ж = 1/100. Растворение проводилось при постоянном перемешивании магнитной мешалкой. Визуально медь растворяется в данном реагенте за 2 ч.

Стандартный электродный потенциал (E^0) перехода Cu^+/Cu^0 , соответствующий реакции $Cu^+ + e \rightarrow Cu^0$, составляет 0.521 В. Стандартный электродный потенциал (E^0) перехода Cu^{2+}/Cu^+ равен +0.167 В [28]. Таким образом, предокисление с введением реагентов позволяет запустить процессы окисления меди, способствуя ее дальнейшему комплексообразованию и переходу в продуктивный раствор.

Исследование по комбинированному взрывному и реагентному воздействию заключается в предварительной обработке меди различными реагентными комплексами с целью интенсификации ее растворения после предокисления. Предположительно, поэтапное окисление меди может улучшить кинетику ее выщелачивания в продуктивный раствор при последующем выщелачивании.

При выборе реагентов для комбинированного взрывного и реагентного воздействия учитывались следующие соображения. Известно, что медь корродирует и растворяется в растворе гидрокарбоната или бикарбоната, переходя в оксид меди I, а впоследствии и в оксид двухвалентной меди в смеси с карбонатными соединениями меди [29].

Механизм взаимодействия меди с раствором гипохлорита натрия достаточно прост:

$$2Cu + NaClO = Cu_2O + NaCl$$
.

Взаимодействие меди с раствором гидроксида натрия протекает при определенных рН и Еh системы [30, 31]. В данном исследовании применялась смесь гидроксида натрия с пероксидом водорода, при взаимодействии которых образовалась кислая соль — гидроперекись натрия [32]. Гидроперекись натрия — более мощный окислитель по сравнению с исходными реагентами:

$$NaOH + H_2O_2 = NaHO_2 + H_2O$$
.

Следует отметить, что стандартные законы химических взаимодействий не вполне применимы в условиях взрыва горной массы, когда образуется значительное количество газов $(600-1000~\mathrm{n/kr})$ и выделяется тепло $(2.5\cdot10^3-7.1\cdot10^3~\mathrm{Дж/kr})$, которое обеспечивает нагревание продуктов взрыва до температуры $1900-4500~\mathrm{^{\circ}C}$ [33].

МАТЕРИАЛЫ И МЕТОДЫ ИССЛЕДОВАНИЯ

Моделью рудного массива является затвердевшая цементно-песчаная смесь с предварительно введенным порошком меди. Содержание меди 0.3 масс. %.

Предварительно определялись физико-механические показатели модельного материала: предел прочности на сжатие и крепость по Протодьяконову. Размер модельного материала — диаметр 150 мм, высота 240 мм.

Для взрывного воздействия на модель рудного массива применялся состав для дробления негабарита [17]. Активация растворов, используемых для комбинированного взрывного и реагентного воздействия (NaHCO $_3$ + H $_2$ O $_2$, NaOH + H $_2$ O $_2$, NaClO, H $_2$ O), выполнялась методом электролиза с рабочим током 8 A, продолжительность 15 мин/л. Для предотвращения разлета кусков эксперименты по комбинированному взрывному и реагентному воздействию осуществлялись в металлической бочке объемом 200 л.

В исследовании процессов перколяционного выщелачивания (выщелачивания просачиванием) выделены три этапа. Первый — лабораторные тесты с рудой в режиме агитационного выщелачивания; второй — перколяционное выщелачивание в лабораторных перколяционных

колоннах и третий — полупромышленные испытания процессов перколяционного выщелачивания, к которым относятся процессы подземного шахтного выщелачивания. В данном исследовании лабораторные тесты с модельным материалом выполнялись в режиме агитационного выщелачивания.

В качестве комплексообразователя меди применялся реагент Jin Chan [21], так как стандартный растворитель — раствор серной кислоты вступает в активную реакцию со связующим модельного материала — цементно-песчаной смесью. Соотношение в экспериментах составило $T/\mathcal{K}=1/2$. Концентрация реагента Jin Chan — $10\,\mathrm{macc}$. %.

Исследовалась эффективность двух вариантов применения реагентного комплекса Jin Chan — стандартного и активированного. Стандартный реагентный комплекс Jin Chan изготавливался на основе дистиллированной воды, активированный раствор Jin Chan — на основе электроактивированного гидрокарбонатного раствора с концентрацией NaHCO₃ 10 г/л. Электроактивация выполнялась методом электролиза с рабочим током 8 А, продолжительность 15 мин/л. Отбор проб выполнялся через 15, 30, 60 мин. Общая продолжительность выщелачивания составила 120 мин. Выщелачивание проводилось в агитационном режиме.

Анализ продуктивных растворов осуществлялся методом атомно-адсорбционной спектроскопии (Shimadzy AA-6000).

РЕЗУЛЬТАТЫ И ИХ ОБСУЖДЕНИЕ

Предел прочности при одноосном сжатии получаемого модельного материала составил 5 МПа; коэффициент крепости по Протодьяконову 0.4; плотность исследуемого модельного материала 1.89 г/см³. На рис. 1 показана схема расположения термитного состава и реагентов в монолите модельного материала.

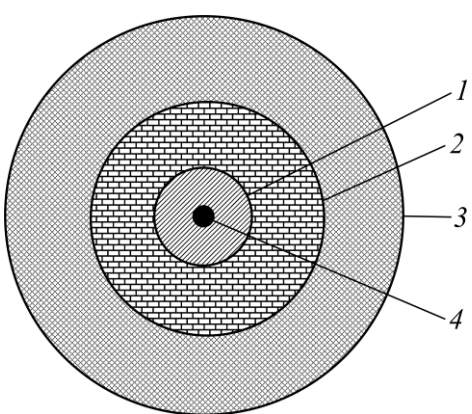


Рис. 1. Схема расположения термитного состава и реагентов в монолите модельного материала 1 — пластиковая капсула с термитным составом; 2 — полиэтиленовая капсула с раствором реагента; 3 — монолит модельного материала; 4 — средства инициирования

Ниже дана гранулометрическая характеристика модельного материала после комбинированного взрывного и реагентного воздействия (в результате различной интенсивности взрывного воздействия):

Крупность фракции, мм Выход фракц	
+ 20	73.90
-20 + 10	5.12
-10 + 5	3.61
-5+0	17.37
Итого	100.00

Динамика выхода меди в продуктивный раствор в результате комбинированного взрывного и реагентного воздействия с применением различных реагентов приведена на рис. 2. "Нулевой" опыт представляет собой взрывное разрушение модели рудного массива с последующим выщелачиванием стандартным раствором реагента (жирная кривая). Изменение концентрации меди в продуктивном растворе рассчитывалось относительно "нулевого" эксперимента.

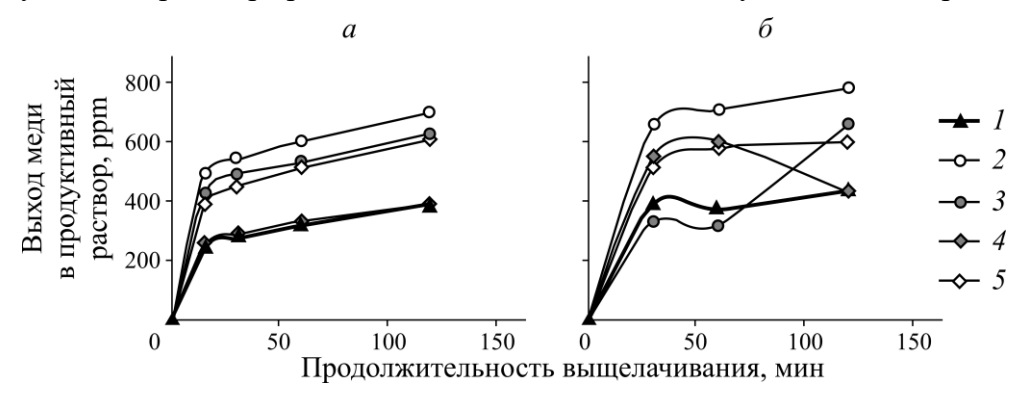


Рис. 2. Динамика выхода меди после комбинированной взрывной и реагентной подготовки с применением различных реагентов: комплексообразователя Jin Chan без активации (a) и электроактивированного (δ): 1 — взрывное дробление без реагента; 2 — H_2O ; 3 — $NaHCO_3^* + H_2O_2$; 4 — Cl^* ; 5 — $NaOH^* + H_2O_2$

На рис. 2*а* приведены результаты по выщелачиванию меди с применением стандартного комплексообразователя, раствор которого приготовлен на основе дистиллированной воды. На рис. 2*б* представлена динамика выхода меди в продуктивный раствор после комбинированной взрывной и реагентной подготовки с применением различных реагентов. В данном эксперименте использовался активированный комплексообразователь Jin Chan.

При применении активированного раствора реагента Jin Chan выход меди в продуктивный раствор для всех видов реагентов, используемых при комбинированном взрывном и реагентном воздействии (NaHCO $_3$ + H $_2$ O $_2$, NaOH + H $_2$ O $_2$, NaClO, H $_2$ O), выше в каждом случае. Следовательно, активация комплексообразователя Jin Chan с применением раствора электроактивированного раствора гидрокарбоната натрия повышает эффективность выхода меди в продуктивный раствор (таблица).

Сравнительная эффективность выхода меди в продуктивный раствор при различных режимах комбинированной взрывной и реагентной обработки модели рудного массива

Реагент,	Реагент, Максимальный выход реагента Jin Chan, ppm		Прирост концентрации, %	
применяемый в комбинированной взрывной и реагентной подготовке	стандартного	электроактивированного	Комбинация взрывного и реагентного воздействия	Влияние активации выщелачивающего раствора
H ₂ O	698	780	83.2	11.7
$NaHCO_3^* + H_2O_2$	624	659	63.8	5.6
$NaOH^* + H_2O_2$	603	597	50.0	28.9
NaClO*	300	615	3.4	105.0
"Нулевой" опыт	381	436	_	14.4

Реакция, протекающая между водой и перхлоратом калия, приводит к образованию хлорной кислоты, являющейся сильнейшим окислителем:

$$2KClO_4 + H_2O \rightarrow 2HClO_4 + K_2O$$
.

Именно благодаря образованию хлорной кислоты при взаимодействии термитного состава и инъектируемой в модель рудного массива воды достигнут максимальный прирост выхода меди в продуктивный раствор за счет комбинированного взрывного и реагентного воздействия. Он составил 83 % для электроактивированного реагента-комплексообразователя.

Для стандартного раствора Jin Chan наблюдается планомерный прирост концентрации меди в растворе. Для активированного раствора динамика выхода меди в раствор характеризуется прогибами (рис. 2δ), отражающими снижение концентрации меди в растворе. Возможно, снижение концентрации меди в растворе с увеличением продолжительности выщелачивания связано с процессами переосаждения.

Применение реагентного воздействия в комбинации со взрывным приводит к повышенному выходу меди в продуктивный раствор на 83.2% (относительно "нулевого" опыта). Прирост извлечения меди в продуктивный раствор происходит за счет образования хлорной кислоты при взаимодействии термитного состава и инъектируемой в модель рудного массива воды. Активирующее воздействие на рабочий раствор выщелачивания повышает извлечениея меди в продуктивный раствор на 11.7%.

Использование гидрокарбонатно-пероксидного раствора ($NaHCO_3^* + H_2O_2$) при комбинированном взрывном и реагентом воздействии обеспечивает максимальную итоговую концентрацию меди в продуктивном растворе 659 ppm, что соответствует модельному материалу, подвергшемуся комбинированному взрывному и реагентному воздействию и выщелачиваемому активированным раствором комплексообразователя.

Максимальная концентрация меди при выщелачивании модельного материала после использования активного хлоридного раствора $({\rm Cl}^*)$ при комбинированном взрывном и реагентом воздействии составляет 615 ppm (при активационном выщелачивании). Оптимальная продолжительность выщелачивания снижена до 44 мин. Далее наблюдается снижение концентрации меди вследствие ее восстановления и перехода в нерастворимое состояние.

Рост концентрации меди при выщелачивании модельного материала после использования щелочно-пероксидного раствора (NaOH*+H₂O₂) при комбинированном взрывном и реагентом воздействии активно происходит до 44 мин, после выходит на "плато". В данном эксперименте активация раствора выщелачивания позволила снизить продолжительность выщелачивания до 44 мин для достижения концентрации меди в продуктивном растворе 580 ppm.

Во всех экспериментах комбинация взрывного и реагентного воздействия на модельный материал, а также активация раствора выщелачивания оказывала положительное влияние на прирост извлечения меди в продуктивный раствор в последующих процессах выщелачивания (по сравнению с обычной взрывной подготовкой перед выщелачиванием). Прирост концентрации меди составляет 50-83% в зависимости от применяемого реагента.

выводы

Экспериментально подтверждена эффективность взрывоинъекционного окисления и выщелачивания меди из модельного материала, максимально соответствующего по прочностным параметрам метасоматизированным меднопорфировым рудам: достигнуто существенное повышение выхода этого металла в продуктивные растворы (фильтраты пульп) относительно контрольных значений, полученных при стандартной взрывной подготовке.

Максимальный прирост выхода меди в продуктивный раствор (83.2 % относительно "нулевого" опыта) достигнут при использовании в экспериментах в качестве инъектируемого агента электроактивированной дистиллированной воды, пары которой, образующиеся при термическом воздействии взрывных газов, формируют высокоактивные окислители: хлорную кислоту при взаимодействии с основным компонентом взрывчатого вещества перхлоратом калия и пероксиды водорода при взаимодействии с продуктами его диспропорционирования радикалами и ион-радикалами кислорода.

Использование в качестве инъектируемого агента гидрокарбонатно-пероксидного раствора ($NaHCO_3^* + H_2O_2$) при комбинированном взрывном и реагентом воздействии обеспечивает максимальную итоговую концентрацию меди в продуктивном растворе, по сравнению с другими реагентными комплексами.

Установлено, что общий максимальный эффект достигается при комбинации взрывоинъекционной подготовки и последующего выщелачивания металлов электроактивированными растворами реагентов соответствующего состава, при этом комбинированное взрывное и реагентное воздействие на модельный материал с применением активных растворов снижает продолжительность выщелачивания меди из модельного материала с 2 ч до 44 мин.

Полученные результаты позволяют использовать взрывоинъекционную подготовку в технологии шахтного (блочного) выщелачивания при освоении запасов меди в целиках, в обрушенной руде отработанных блоков, в нижних участках основных залежей, в маломощных рудных телах, а также в доизвлечении ее из твердеющей закладки камер отработанных горизонтов, сформированной на основе хвостов флотации.

Технологические исследования и химический анализ выполнены на базе ЦКП "ЦИМС" ХФИЦ ДВО РАН. Исследования проведены с использованием ресурсов Центра коллективного пользования научным оборудованием "Центр обработки и хранения научных данных ДВО РАН".

СПИСОК ЛИТЕРАТУРЫ

- **1.** Секисов А. Г., Шевченко Ю. С., Лавров А. Ю. Взрывоинъекционная подготовка руд к выщелачиванию // Всерос. конф. "Фундаментальные проблемы формирования техногенной геосреды". 2012. С. 125–132.
- **2.** Строительство и эксплуатация рудников подземного выщелачивания / В. Н. Мосинец, Д. П. Лобанов, М. Н. Тадеев и др. М.: Недра, 1987. 303 с.
- **3. Xie H., Mao Zh., Xiao D., and Liu J.** Rapid detection of copper ore grade based on visible-infrared spectroscopy and TSVD-IVTELM, Measurement, 2022, Vol. 203. 112003.
- **4.** Bahamondez C., Castro R., Vargas T., and Arancibia E. In situ mining through leaching: experimental methodology for evaluating its implementation and economic considerations, J. Southern African Institute Min. and Metallurgy, 2016, Vol. 116, Is. 7. P. 689–698.
- **5. Parra H., Onederra I., Michaux S. et al.** A study of the impact of blast induced conditioning on leaching performance, Miner. Eng., 2015, Vol. 74. P. 1–12.
- **6. Onederra I.A., Furtney J.K., Sellers E., and Iverson S.** Modelling blast induced damage from a fully coupled explosive charge, Int. J. Rock Mech. and Min. Sci., 2013, Vol. 58. P. 73 84.
- 7. Ouchterlony F., Bergman P., and Nyberg U. Fragmentation in production rounds and mill through-put in the Aitik copper mine, a summary of development projects 2002–2009, Rock Fragmentation by Blasting, Editors Pradeep K. Singh & Amalendu Sinha, CSIR Central Institute of Mining and Fuel Research, Dhanbad, India, 2012. P. 117–128.

- **8. Kinyua E.M., Jianhua Zh., Kasomo R. M., Mauti D., and Mwangangi J.** A review of the influence of blast fragmentation on downstream processing of metal ores, Miner. Eng., 2022, Vol. 186. 107743.
- **9.** Пат. 660862 РФ. Термитный состав для разрушения негабаритных кусков горных пород и неметаллических строительных конструкций / И. Г. Березин, П. А. Брагин, С. А. Горинов, И. Ю. Маслов; опубл. 10.07.2018, Бюл. № 19.
- **10.** Edgar J.O., Gould J.A., Badreshany K., and Telling J. Mechanochemical generation of perchlorate, Icarus., 2022, Vol. 387, Is. 15. 115202.
- **11.** Türker L. Thermobaric and enhanced blast explosives (TBX and EBX), Defence Technology, 2016, Vol. 12, Is. 6. P. 423–445.
- **12.** Kranz R. L. Microcracks in rocks: A review, Tectonophysics, 1983, Vol. 100, Is. 1–3. P. 449–480.
- **13.** Anders M. H., Laubach S. E., and Schol Ch. H. Microfractures: A review, J. Structural Geology, 2014, Vol. 69. P. 377 378.
- **14. Permadi P., Marhaendrajana T., Nandya S., and Idea Kh.** Identification and characterization of microfractures in carbonate samples, Petroleum Exploration and Development, 2022, Vol. 49, Is. 2. P. 415–427.
- **15.** Таловина И.В., Александрова Т.Н., Попов О., Либервирт Х. Сравнительный анализ исследования структурно-текстурных характеристик горных пород методами компьютерной рентгеновской микротомографии и количественного микроструктурного анализа // Обогащение руд. 2017. № 3 (369). С. 56–62.
- **16.** Александрова Т. Н., Гурман М. А., Кондратьев С. А. Проблемы извлечения золота из упорных руд юга Дальневосточного региона России и некоторые пути их решения // ФТПРПИ. 2011. № 5. С. 124-135.
- **17.** Беспалько А. А., Яворович Л. В., Еременко А. А., Штирц В. А. Электромагнитная эмиссия горных пород после массовых взрывов // ФТПРПИ. 2018. № 2. С. 10-17.
- **18.** Александрова Т. Н. Комплексная и глубокая переработка минерального сырья природного и техногенного происхождения: состояние и перспективы // Зап. Горн. ин-та. 2022. № 256. С. 503 504.
- **19. Sekisov A. and Rasskazova A.** Assessment of the possibility of hydrometallurgical processing of low-grade ores in the oxidation zone of the Malmyzh Cu-Au porphyry deposit, Minerals, 2021, Vol. 11, Is. 1. P. 1–11.
- **20. Afflerbach S., Pritzel Ch., Hartwich P. et al.** Effects of thermal treatment on the mechanical properties, microstructure and phase composition of an Ettringite rich cement, Cement, 2023, Vol. 11. 100058.
- **21. Jin Chan.** Environmental-friendly Gold Dressing Agent. URL: http://www.gxshgk.com/senhe_en/index.php/content/index/pid/15.html (дата обращения 16.03.2023).
- **22. Beyuo M., Abaka-Wood G.B., Asamoah R.K., et al.** A comparative study of sodium cyanide and jinchantm leaching reagents: A Case Study at Goldfields Ghana Limited, 4th UMaT Biennial Int. Min. and Miner. Conf., 2018— P. 195–199.
- 23. Gui Q., Fu L., Hu Y., et al. Gold extraction using alternatives to cyanide: Ultrasonic reinforcement and its leaching kinetics, Miner. Eng., 2023, Vol. 191. 107939.
- **24. Guo X.Y., Liu Z.W., Tian Q.H. et al.** Gold extraction from Carlin-type concentrate by a novel environmentally friendly lixiviant, Hydrometallurgy, 2022, Vol. 211. 105884.
- **25. Zhang Y., Cui M., Wang J. et al.** A review of gold extraction using alternatives to cyanide: Focus on current status and future prospects of the novel eco-friendly synthetic gold lixiviants, Miner. Eng., 2022, Vol. 176. 107336.
- **26. Курков А. В., Ануфриева С. И., Соколова В. Н. и др.** Информационно-аналитические материалы: Мировые достижения развития методов, техники и технологий переработки минерального сырья. Серия: Гидрометаллургическая и геотехнологическая переработка минерального сырья. М.: Издво ВИМС, 2020. 30 с.

- **27.** Дементьев В. Е., Дружина Г. Я., Гудков С. С. Кучное выщелачивание золота и серебра. Иркутск: Иргиредмет, 2004. 352 с.
- **28.** Tabbì G., Giuffrida A., and Bonomo R. P. Determination of formal redox potentials in aqueous solution of copper(II) complexes with ligands having nitrogen and oxygen donor atoms and comparison with their EPR and UV–Vis spectral features, J. Inorg Biochem., 2013, Vol. 128. P. 137–145.
- **29. Drogowska M., Brossard L., and Ménard H.** Copper Dissolution in NaHCO₃ and NaHCO₃ + NaCl Aqueous Solutions at pH 8, J. Electrochem. Soc., 1992, Vol. 139. P. 39.
- **30.** Hamidah I., Solehudin A., Hamdani A. et al. Corrosion of copper alloys in KOH, NaOH, NaCl, and HCl electrolyte solutions and its impact to the mechanical properties, Alexandria Eng. J., 2021, Vol. 60, Is. 2. P. 2235–2243.
- **31.** Luo W., Xu Y., and Yan M. Effect of grain size on corrosion of nanocrystalline copper in NaOH solution, Corrosion Sci., 2010, Vol. 52, Is. 10. P. 3509–3513.
- **32.** Gurman M. A., Shcherbak L. I., and Rasskazova A. V. Gold and arsenic recovery from calcinates of rebellious pyrite–arsenopyrite concentrates, J. Miner. Sci., 2015, Vol. 51, No 3. P. 586–590.
- **33.** Wang H., Wang Zh., Wang J. et al. Effect of confining pressure on damage accumulation of rock under repeated blast loading, Int. J. Impact Eng., 2021, Vol. 156. 103961.

Поступила в редакцию 06/VI 2023 После доработки 19/X 2023 Принята к публикации 16/XI 2023